

Fig. 1

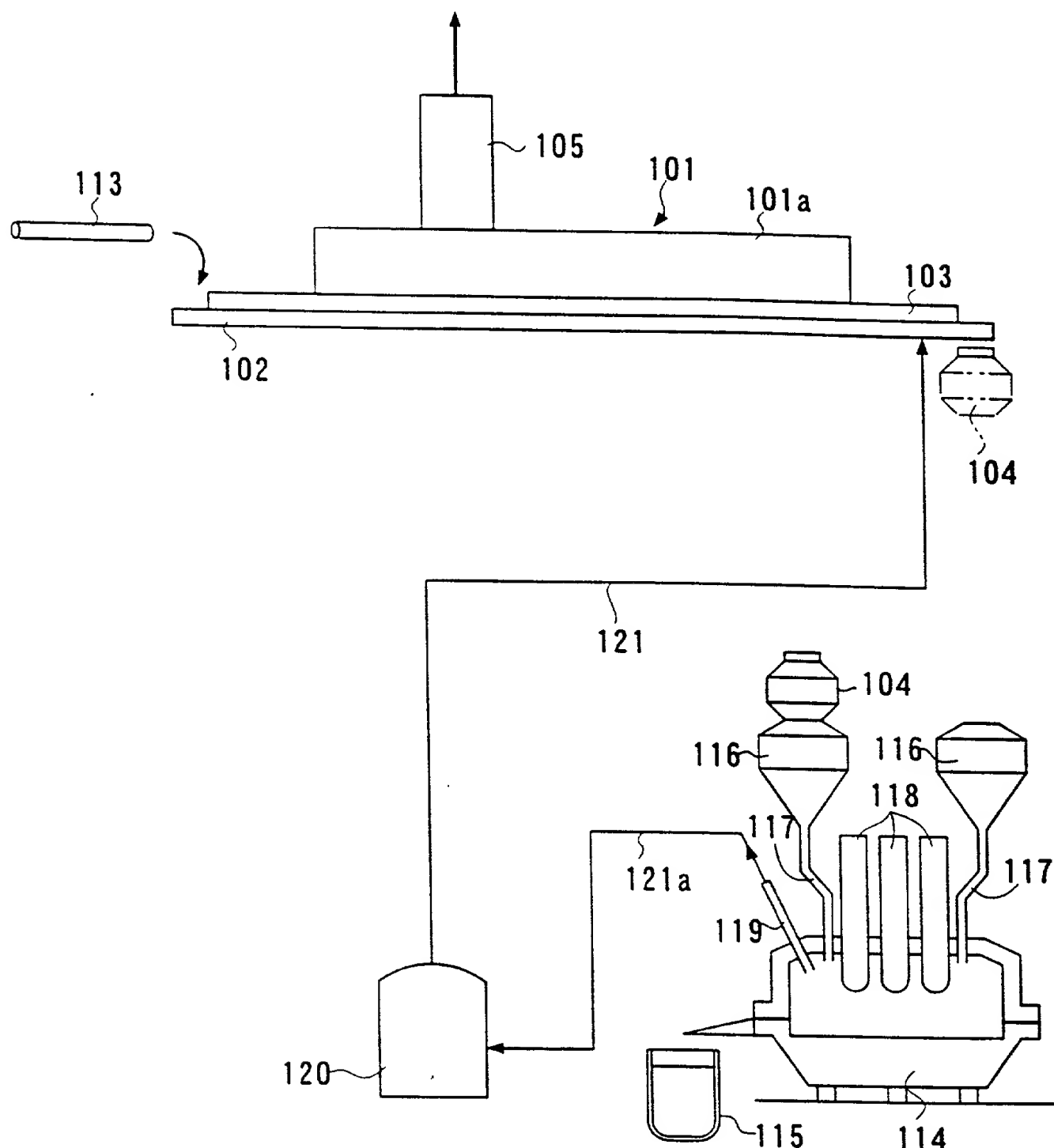
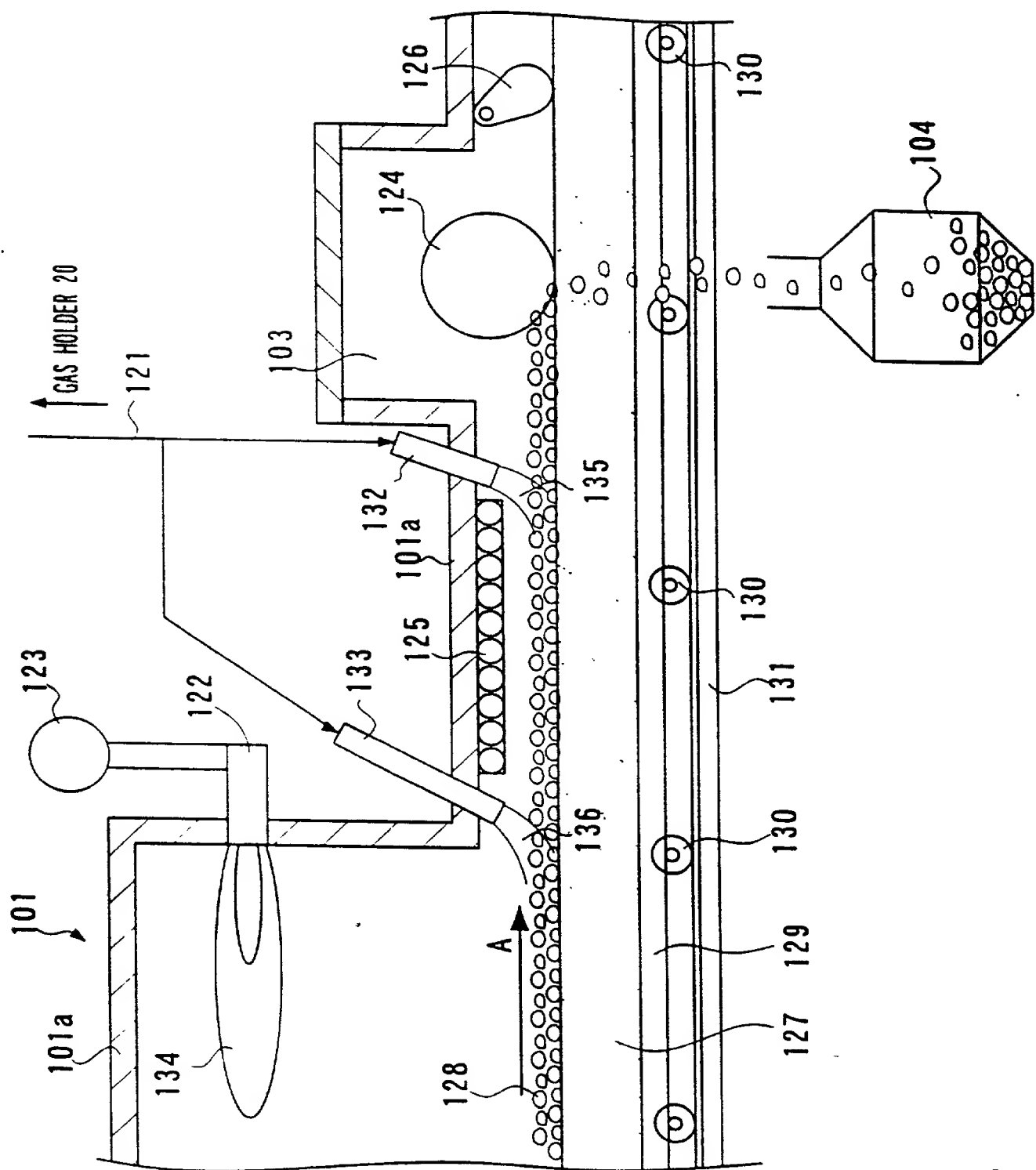


Fig. 2



**OBLON, SPIVAK, ET AL
DOCKET #: 211606US3DIV
INV: Hironori FUJIOKA, et al.
SHEET 3 OF 23**

Fig. 3

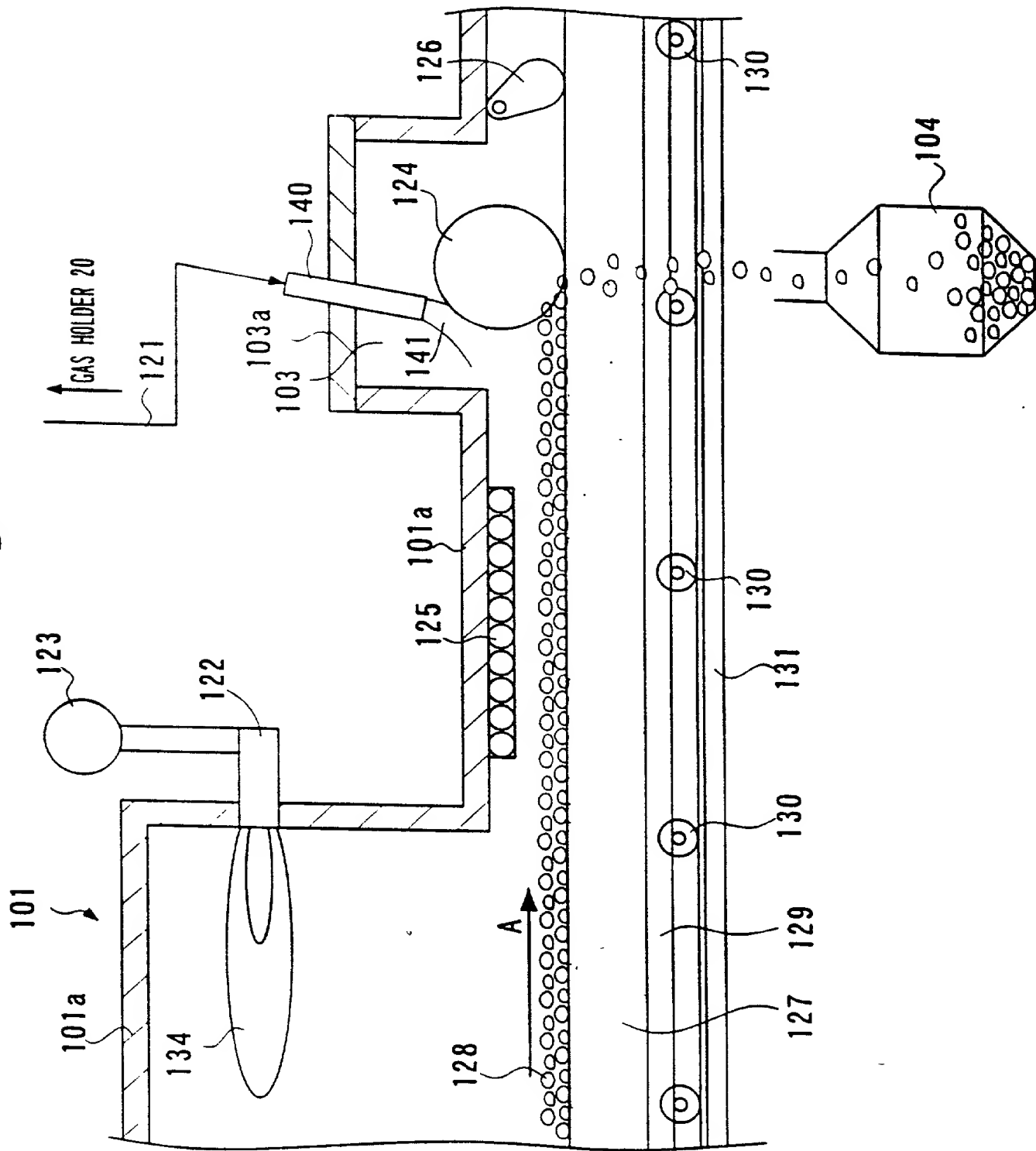


Fig. 4

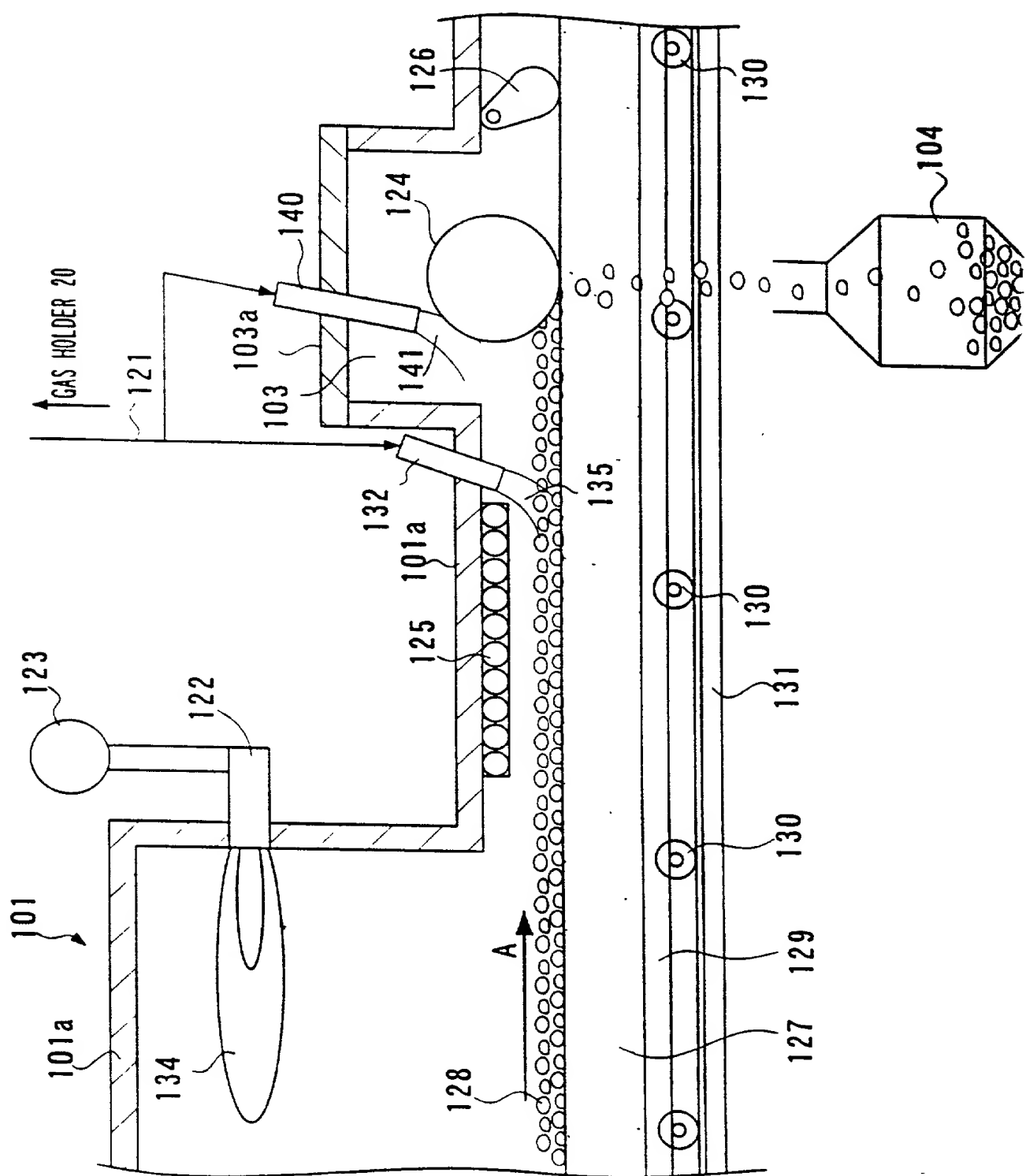


Fig. 5

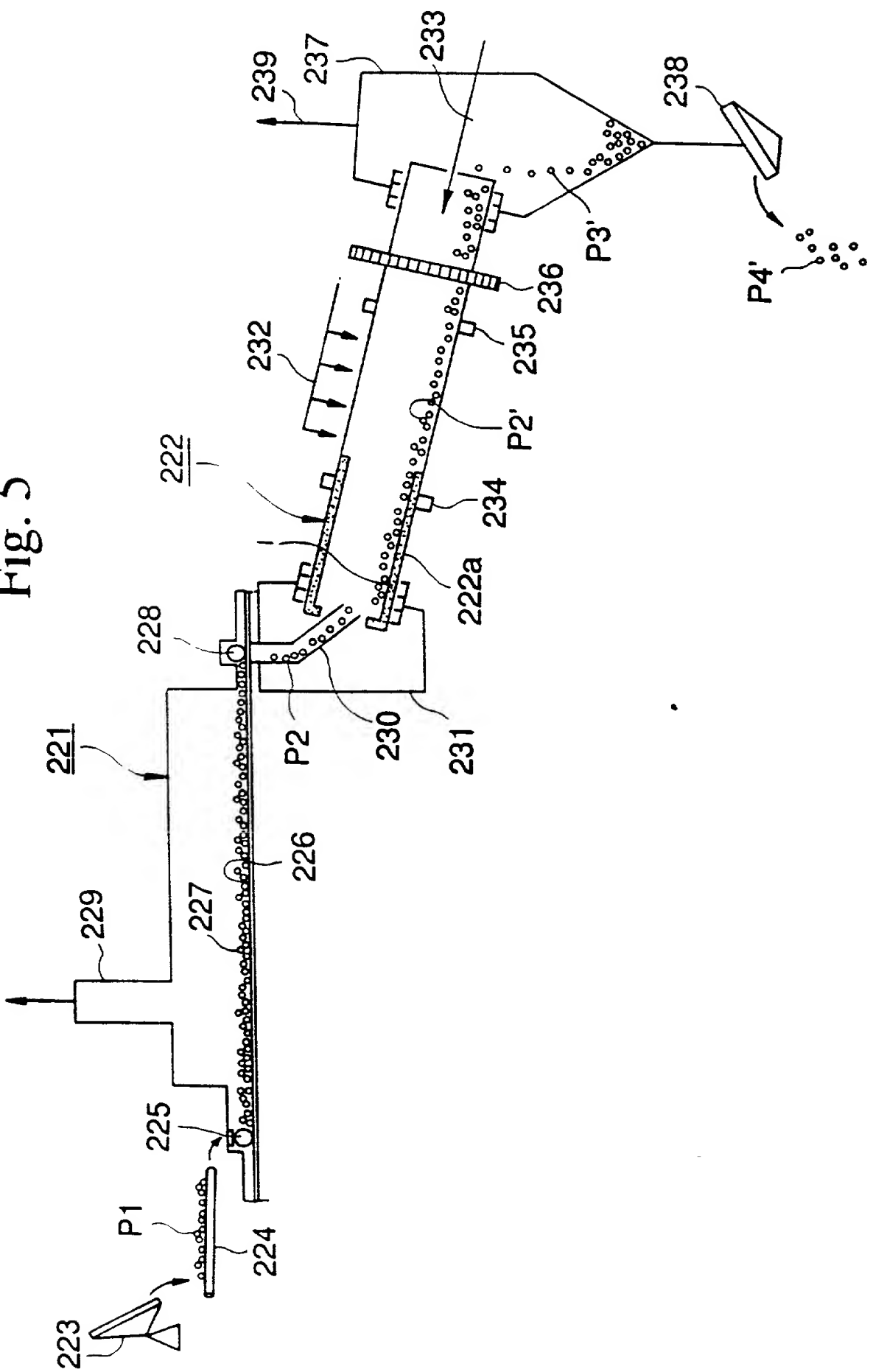


Fig. 6

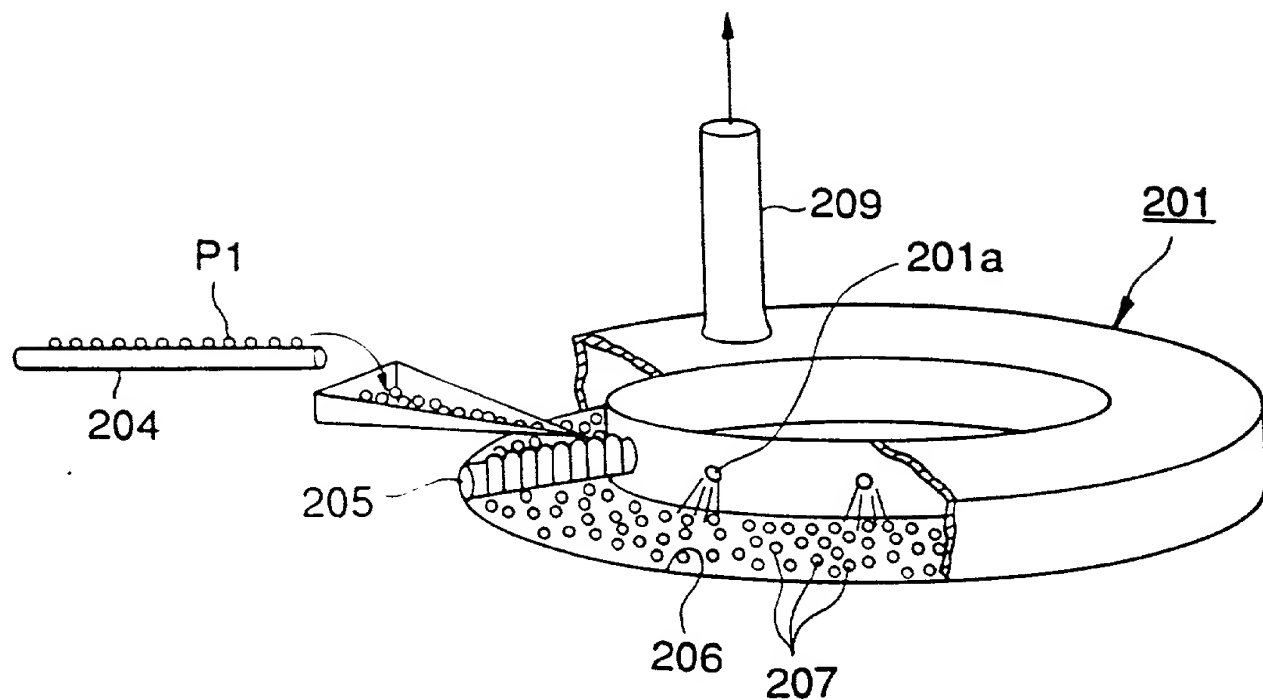


Fig. 14

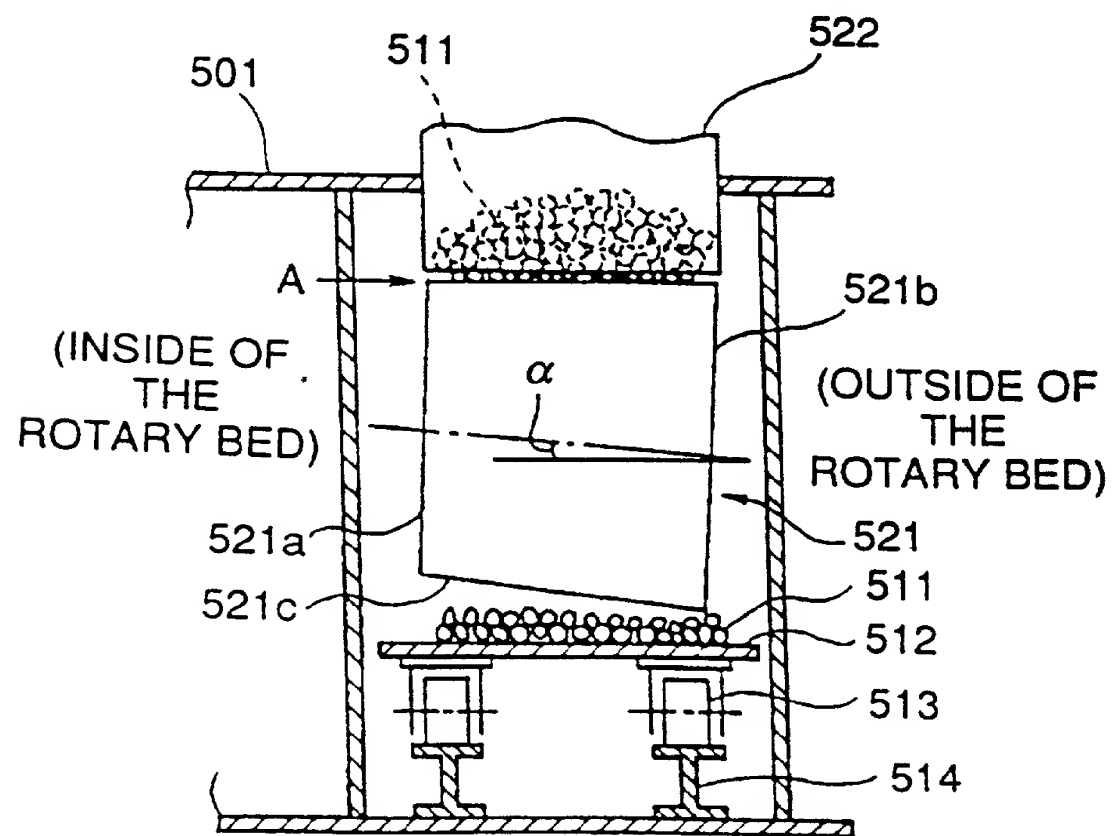


Fig. 7

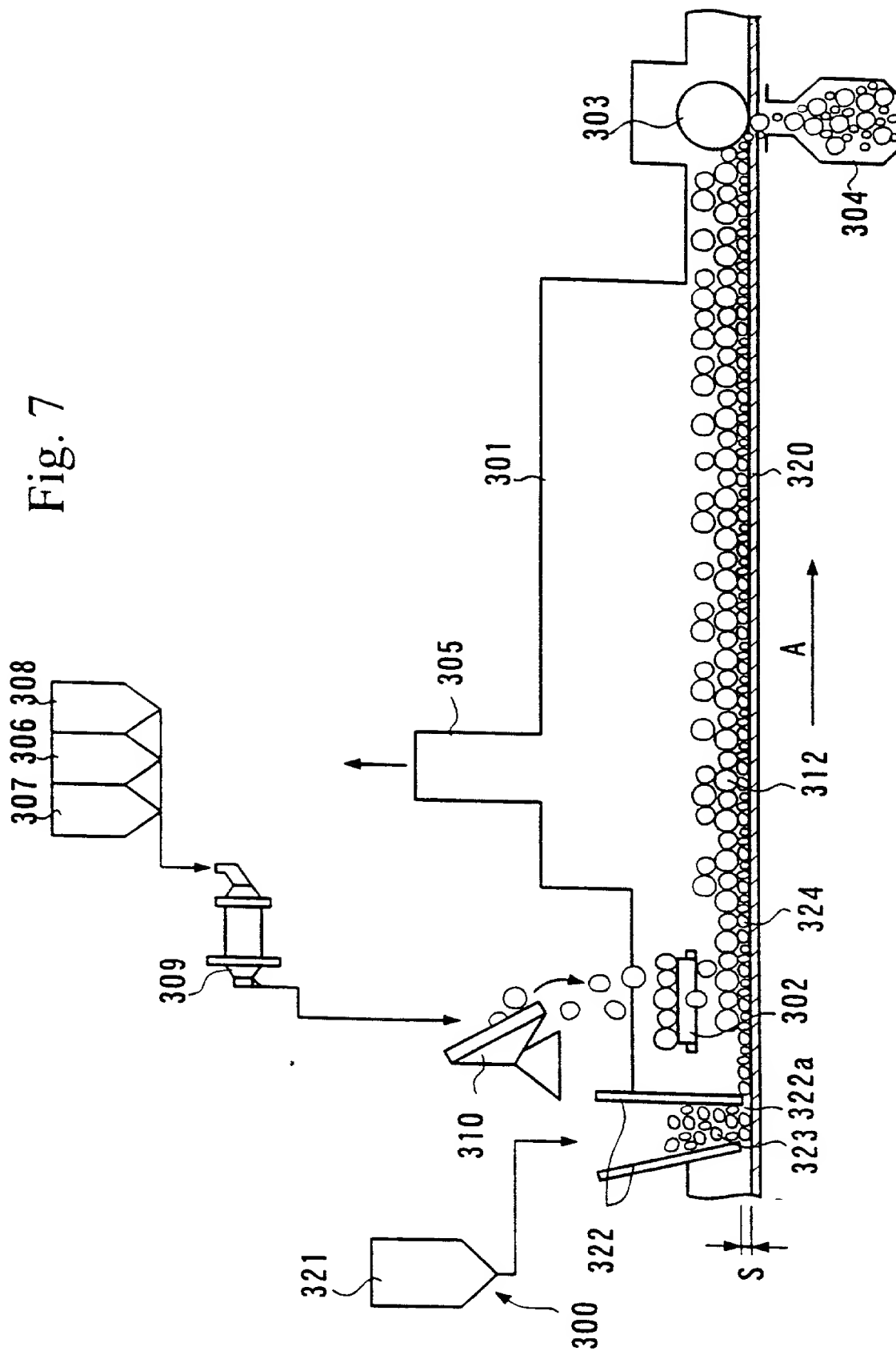
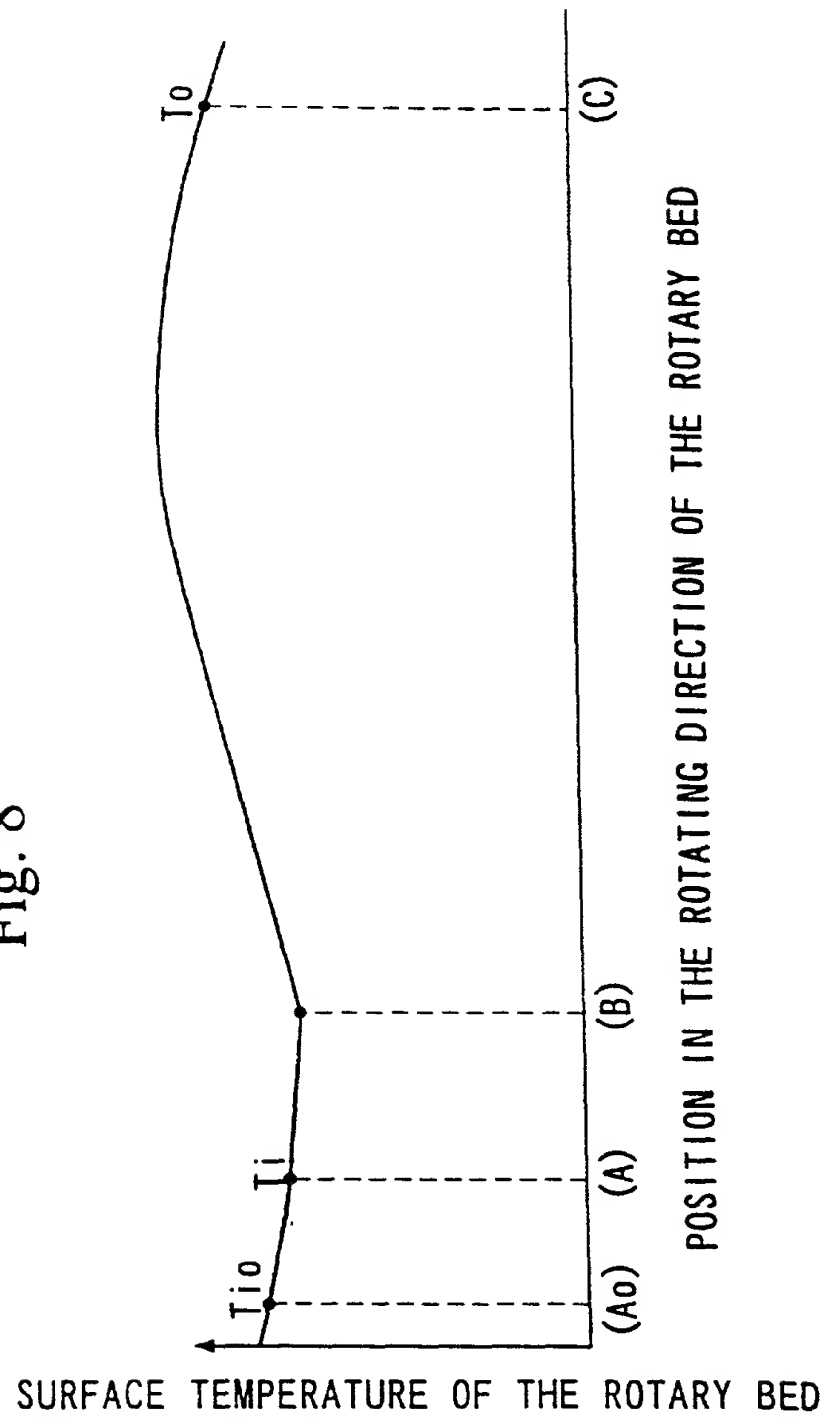
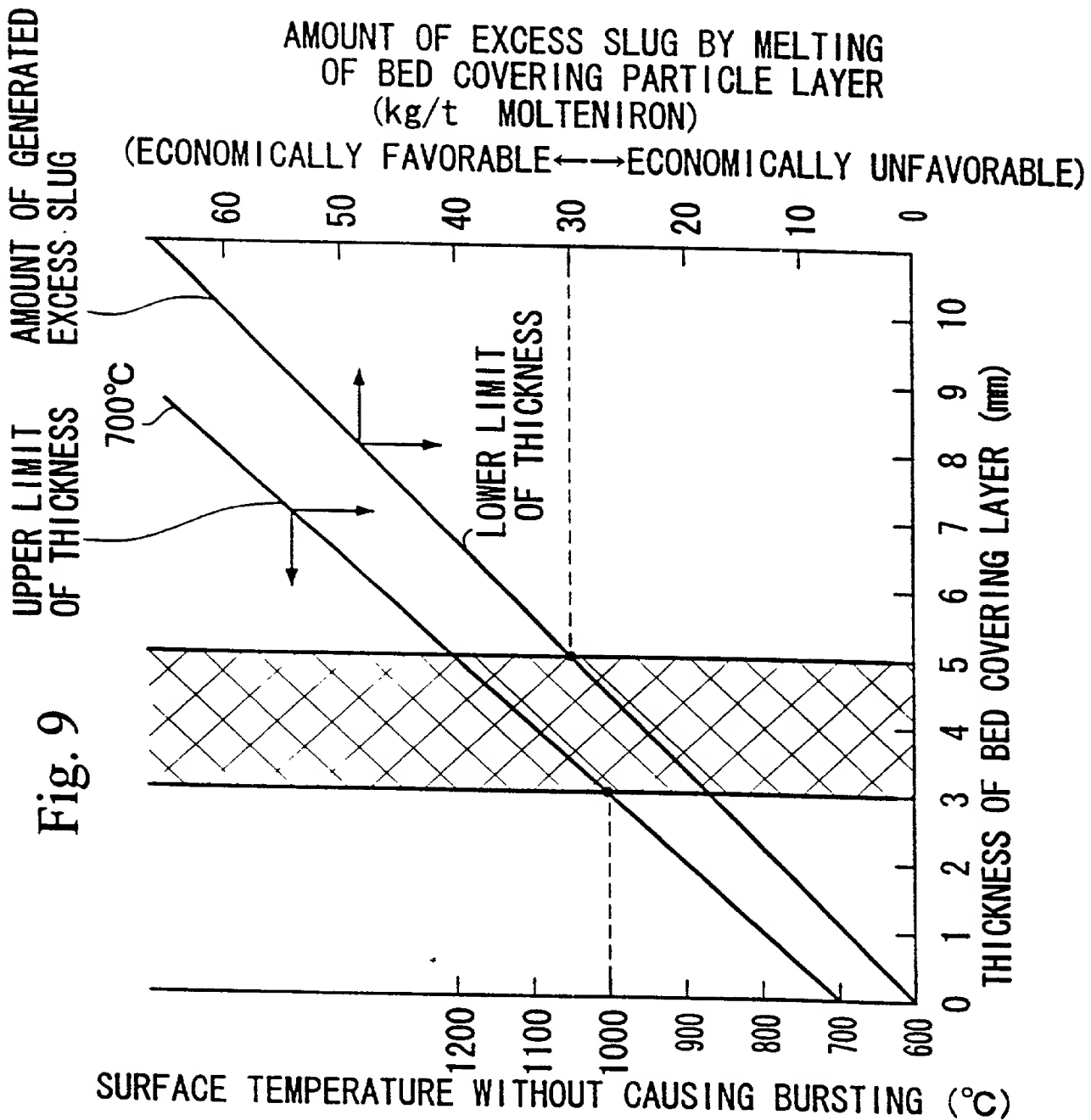


Fig. 8





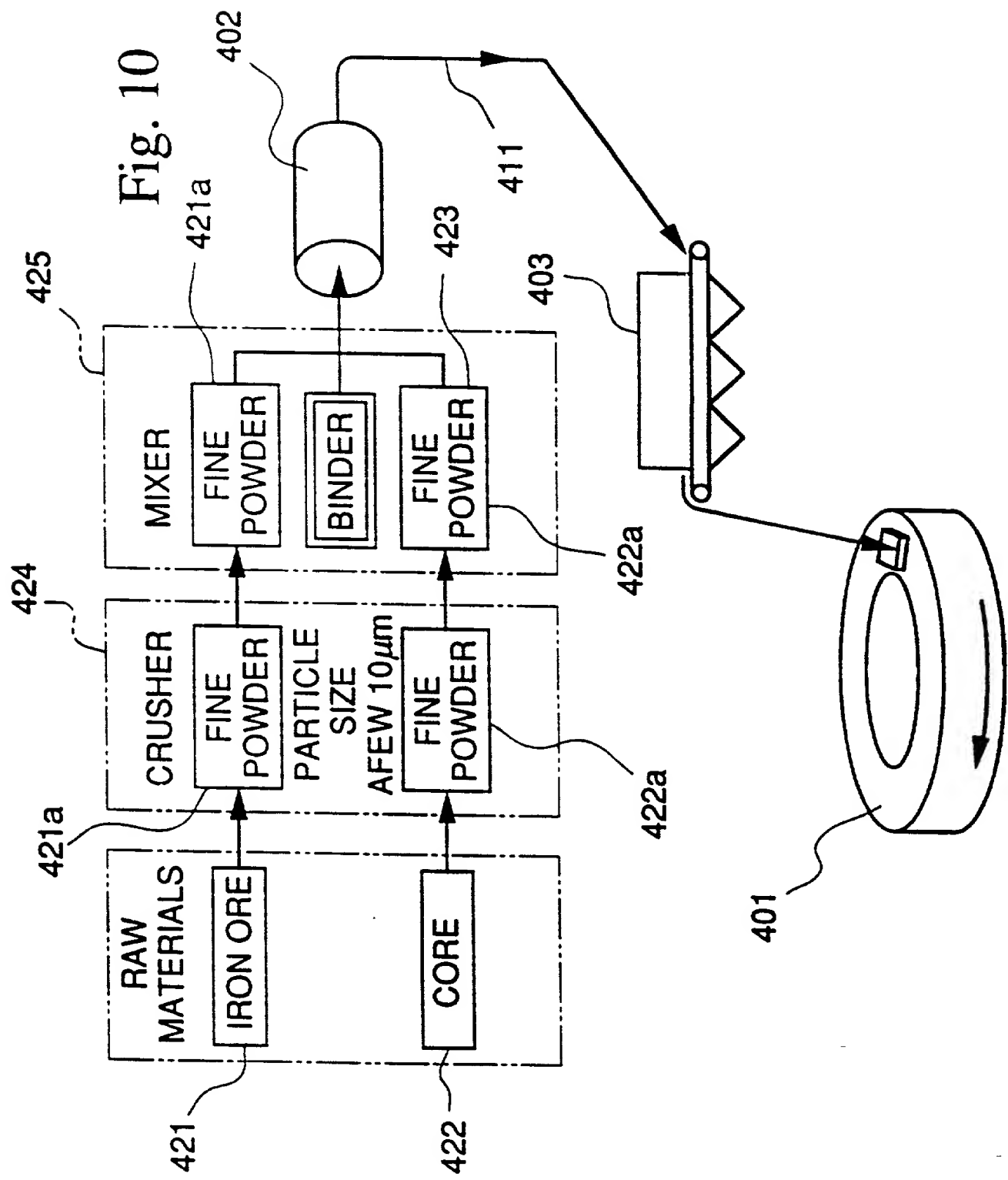


Fig. 11

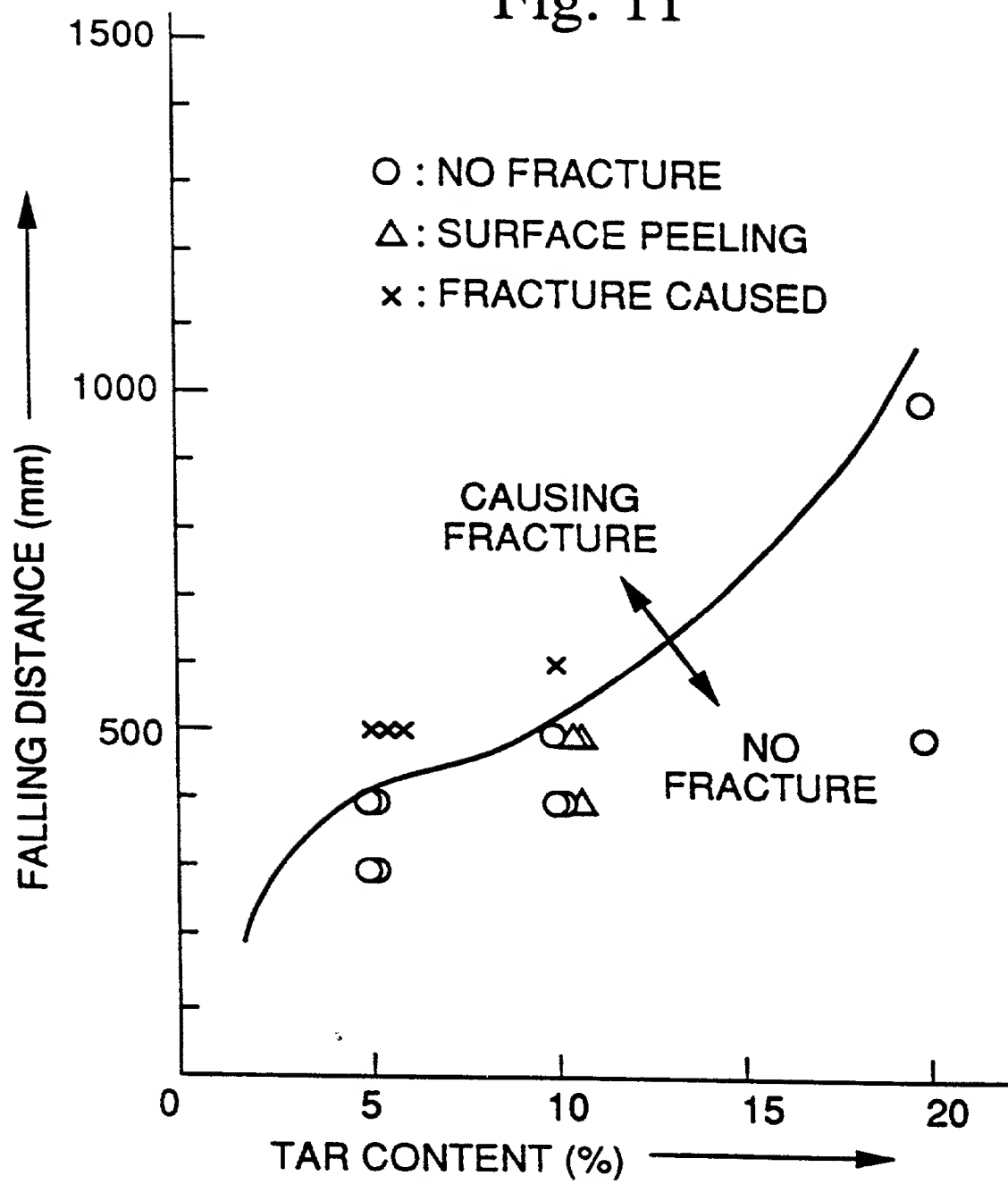


Fig. 12

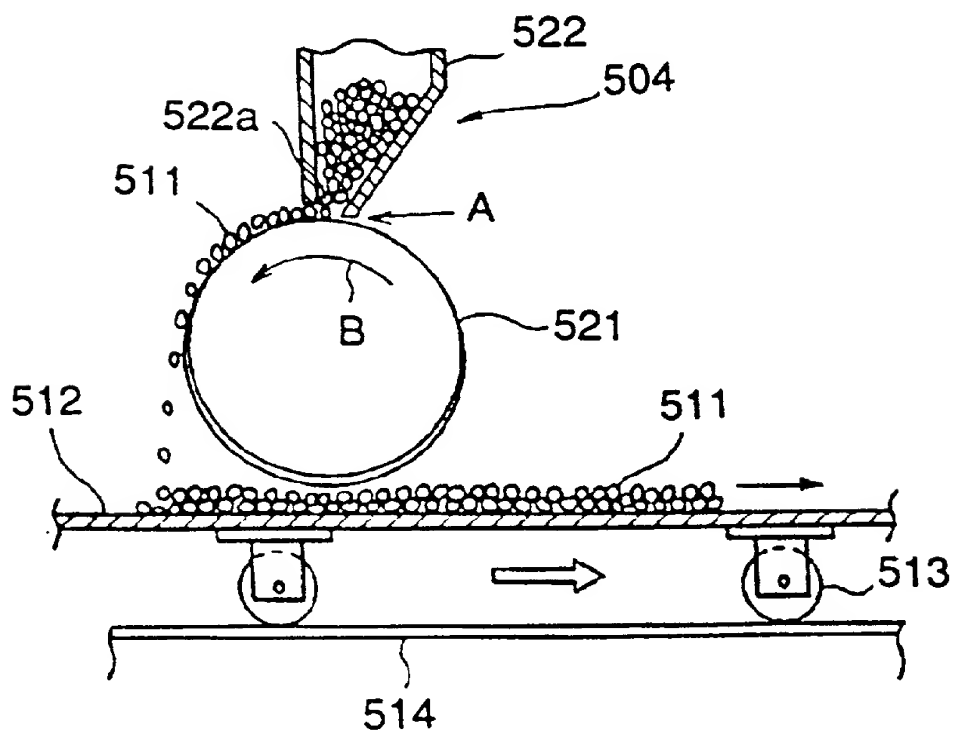


Fig. 13

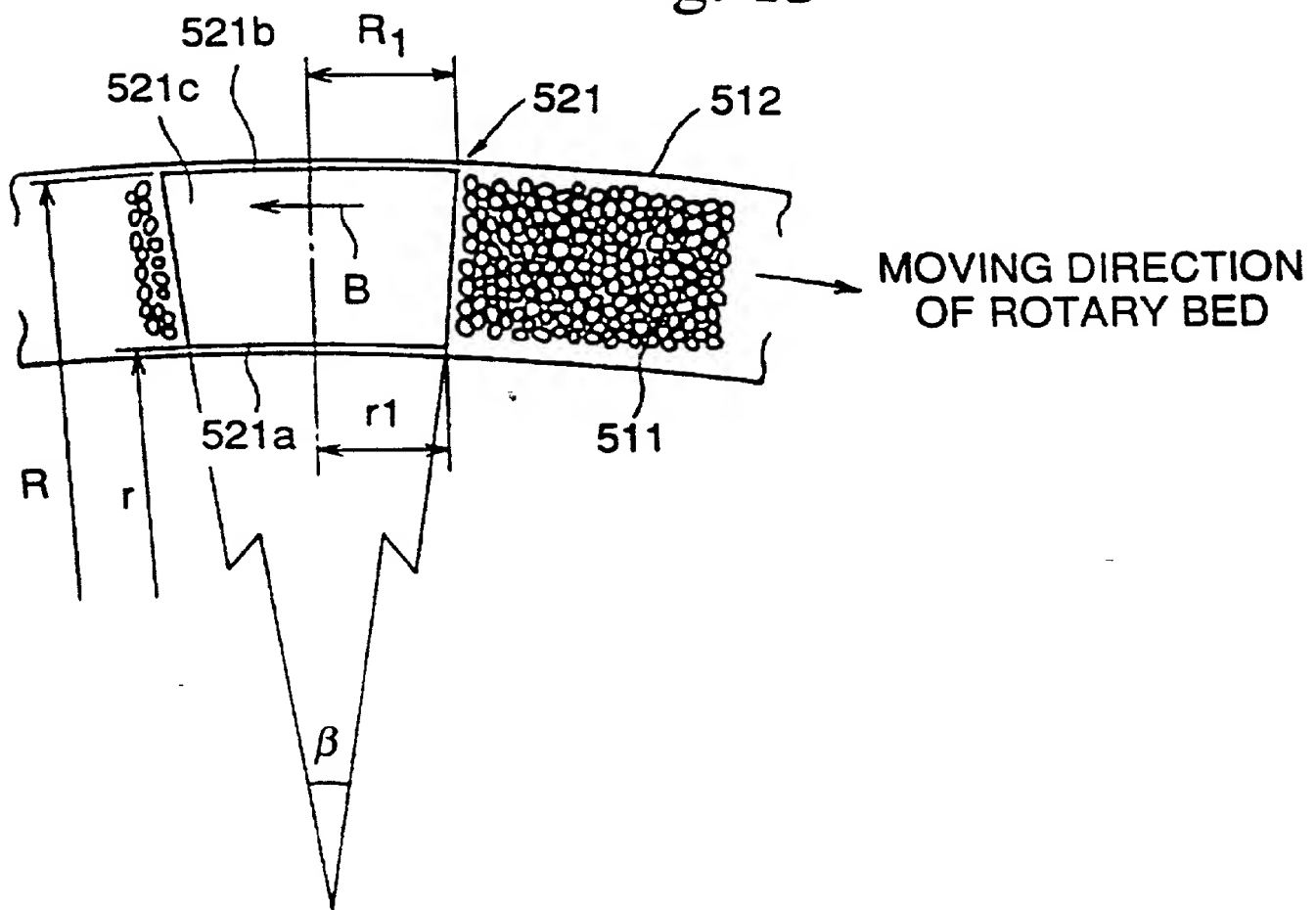


Fig. 15

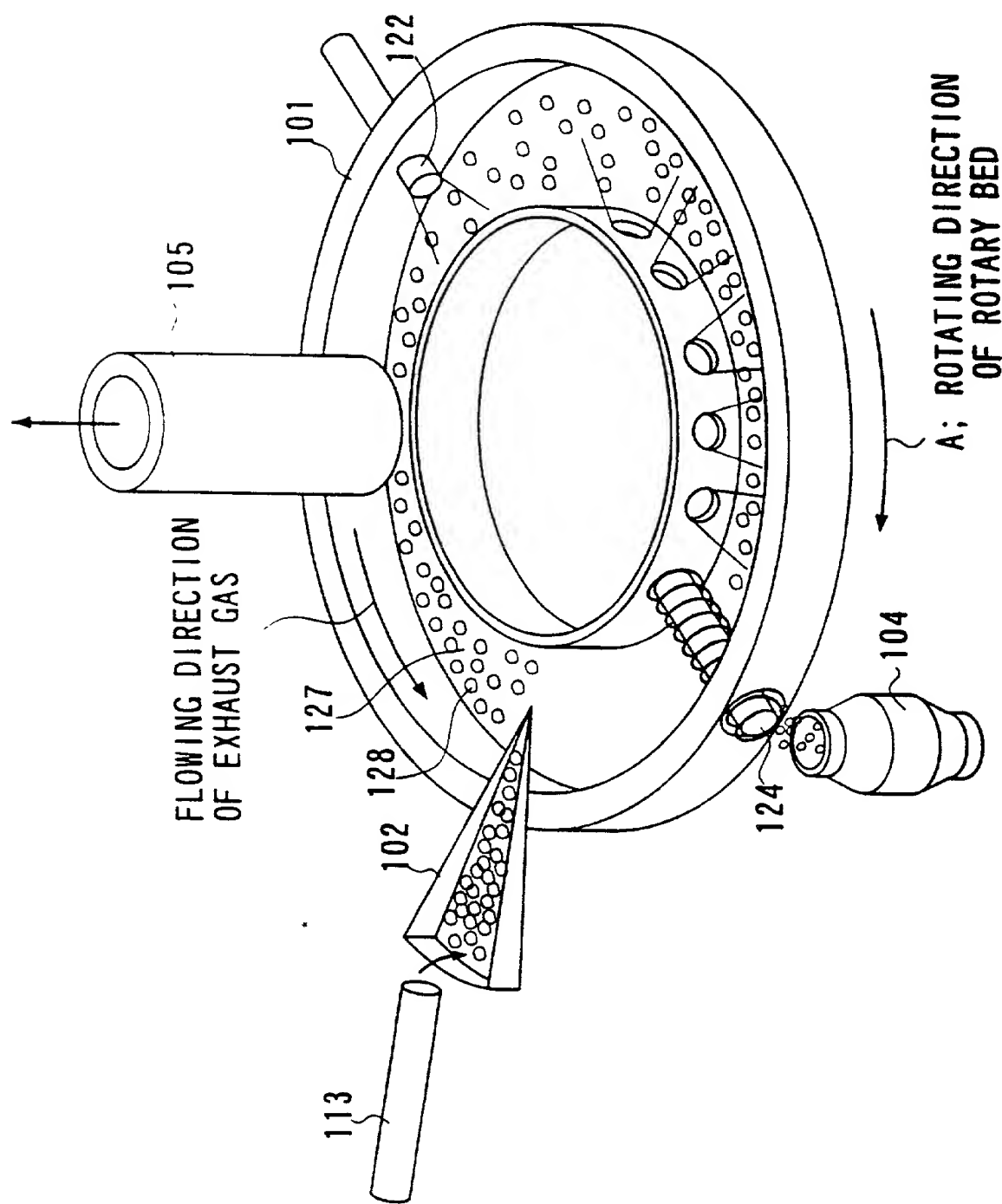


Fig. 16

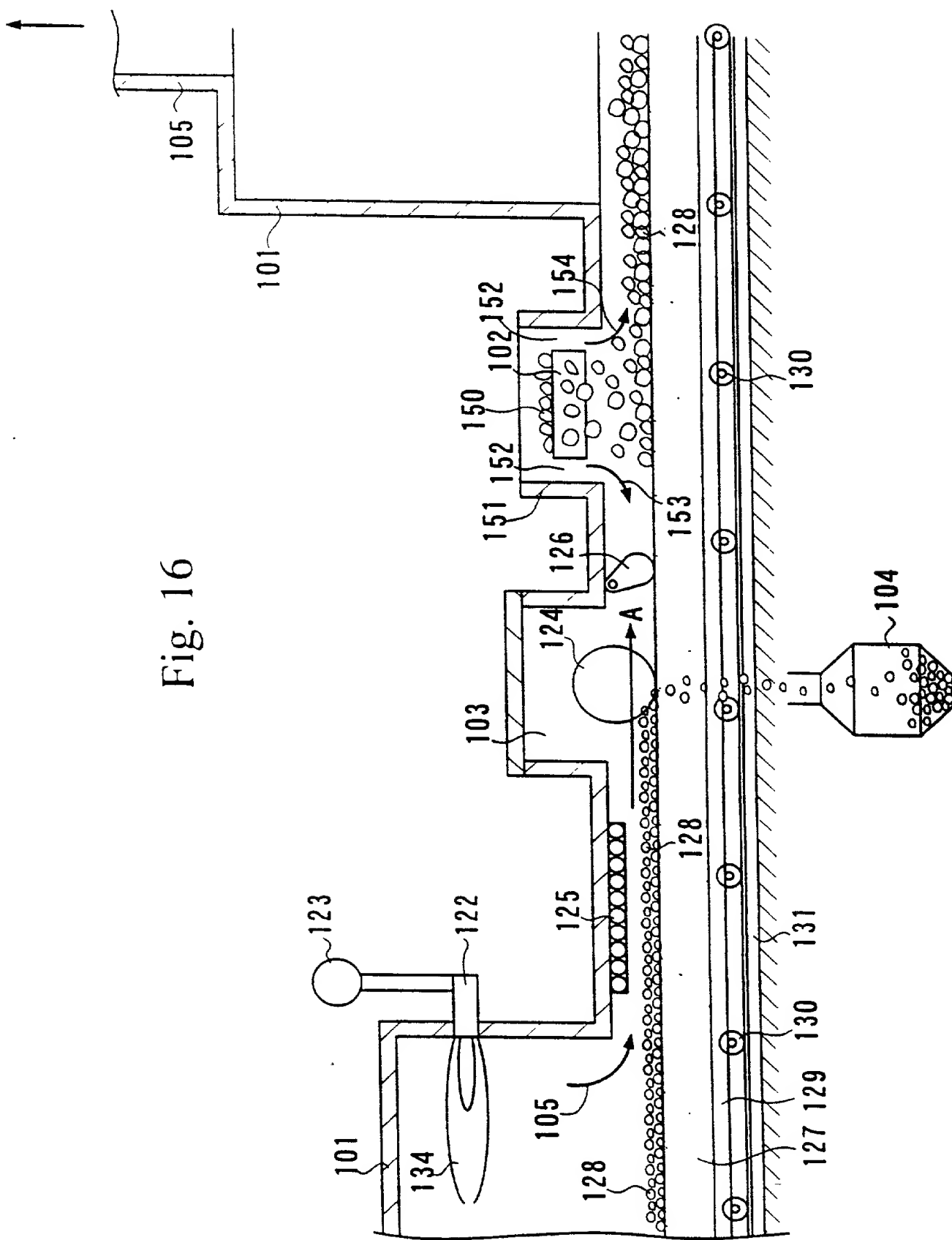
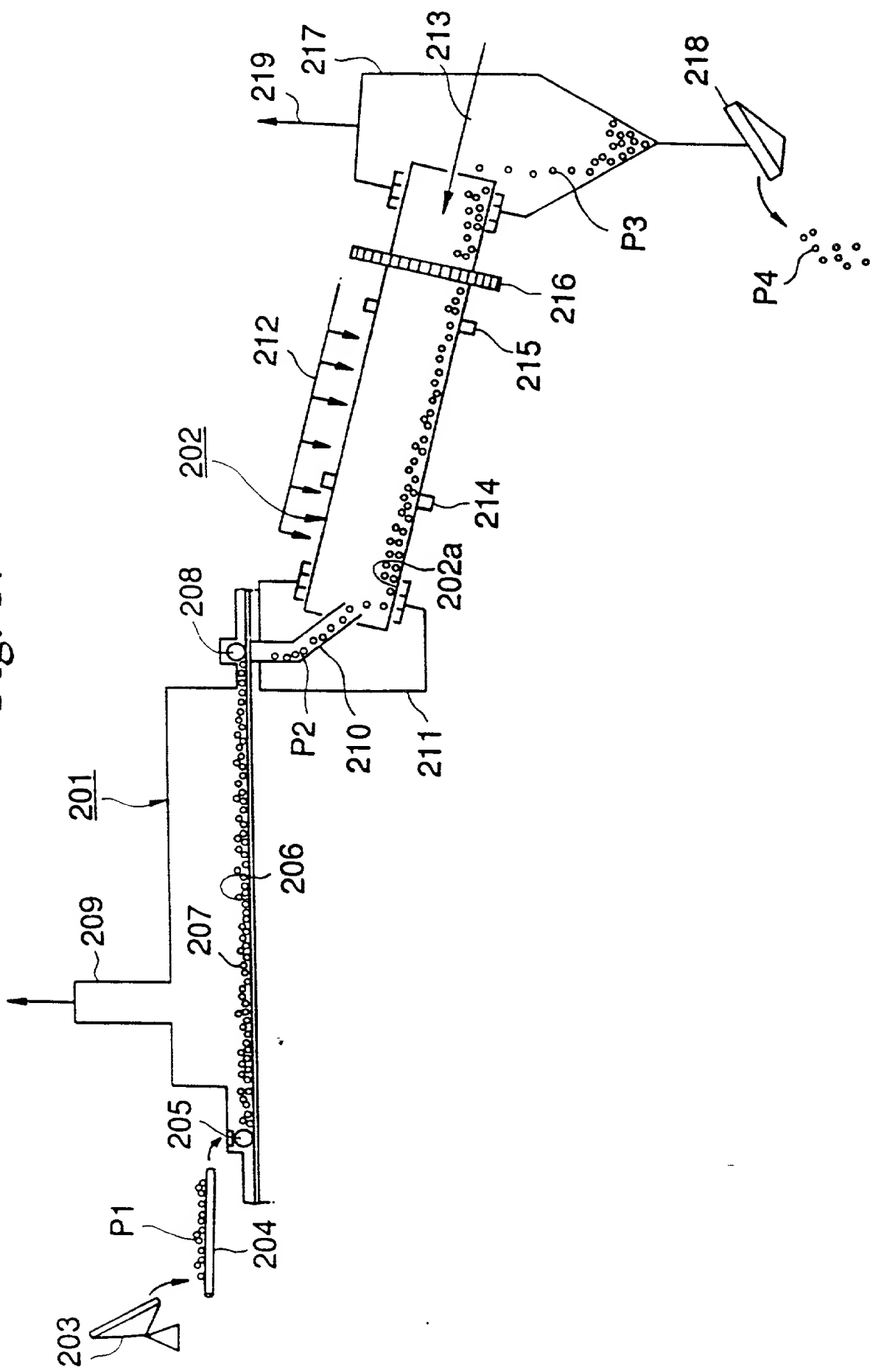


Fig. 17



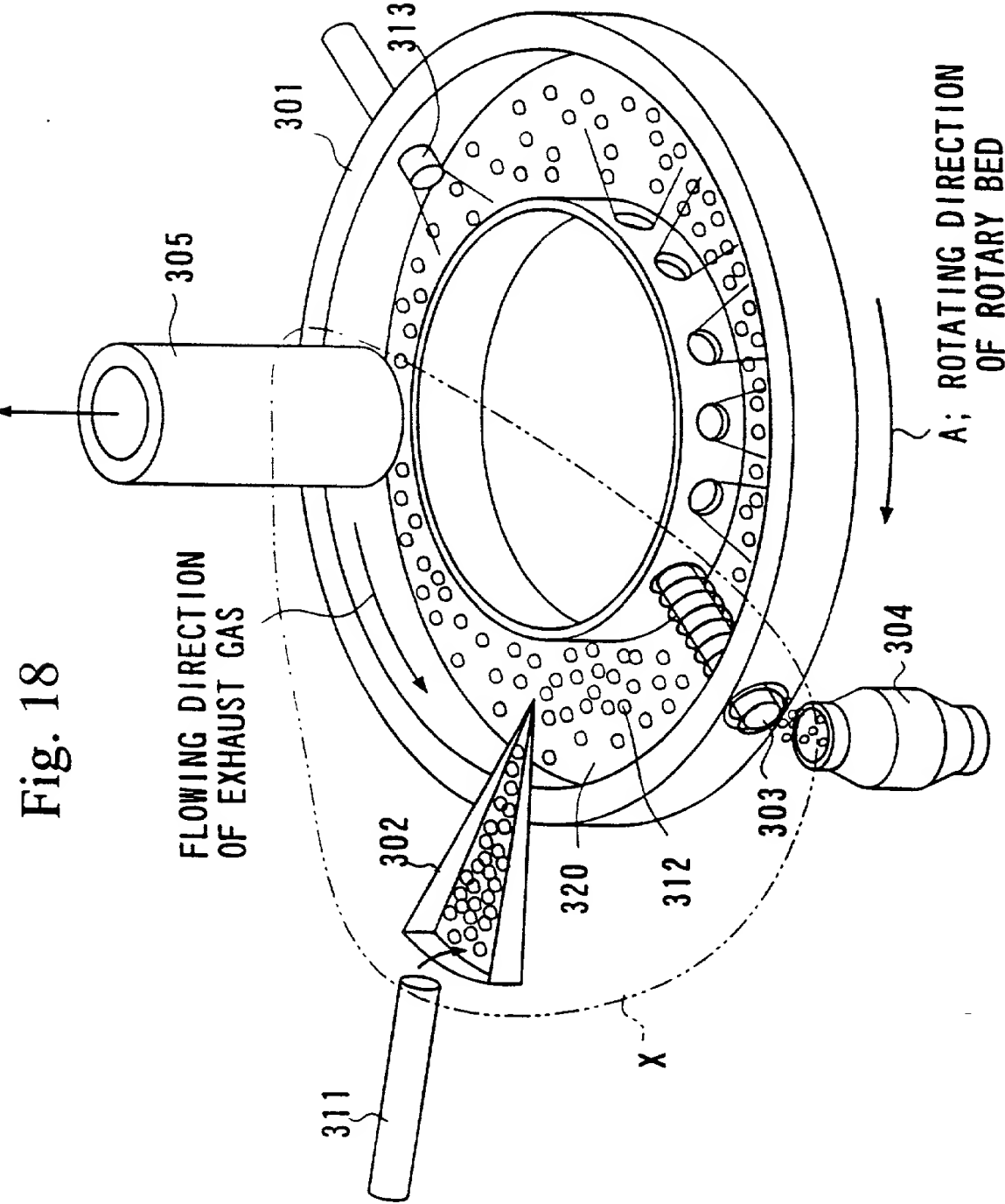


Fig. 18

Fig. 19

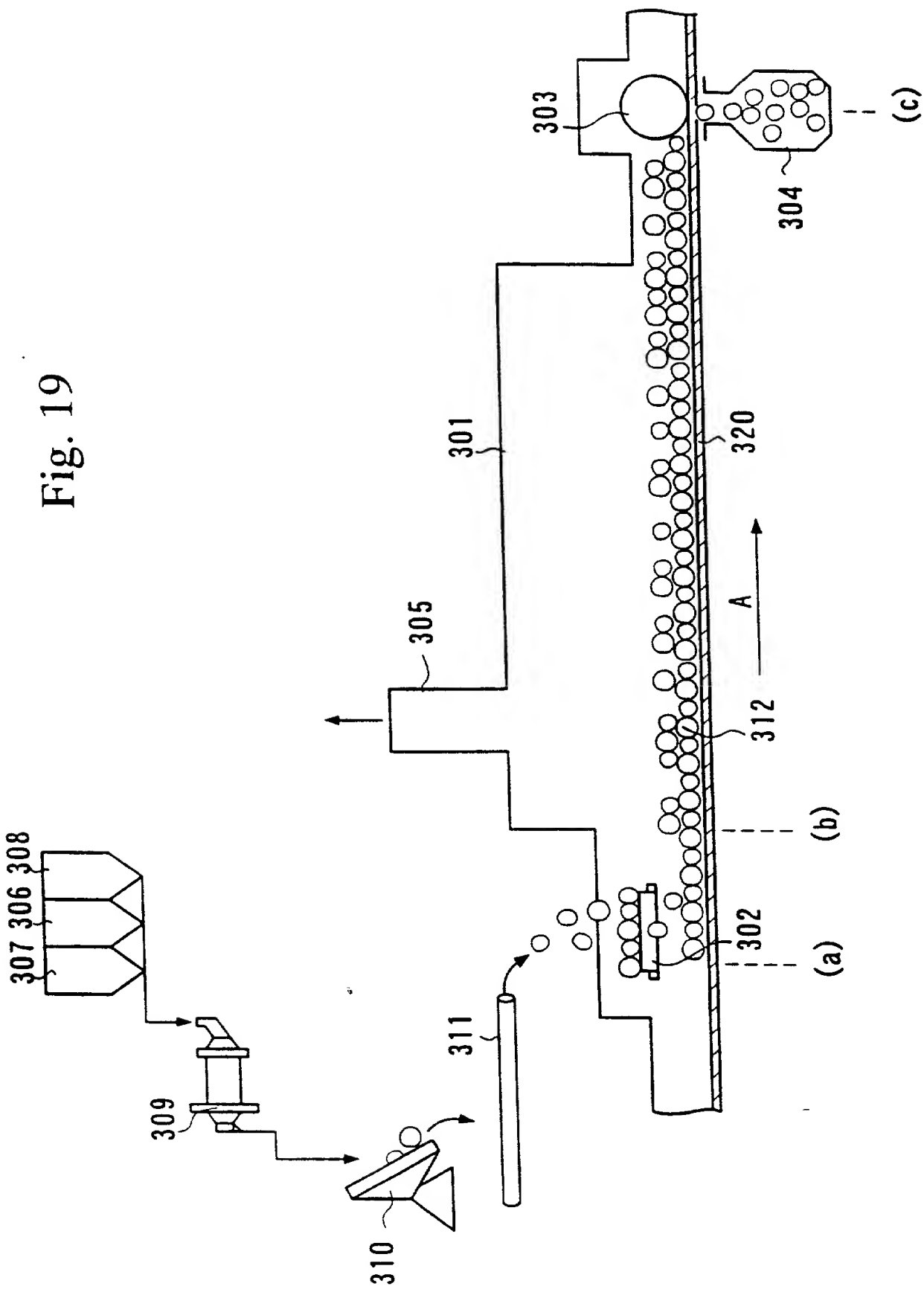
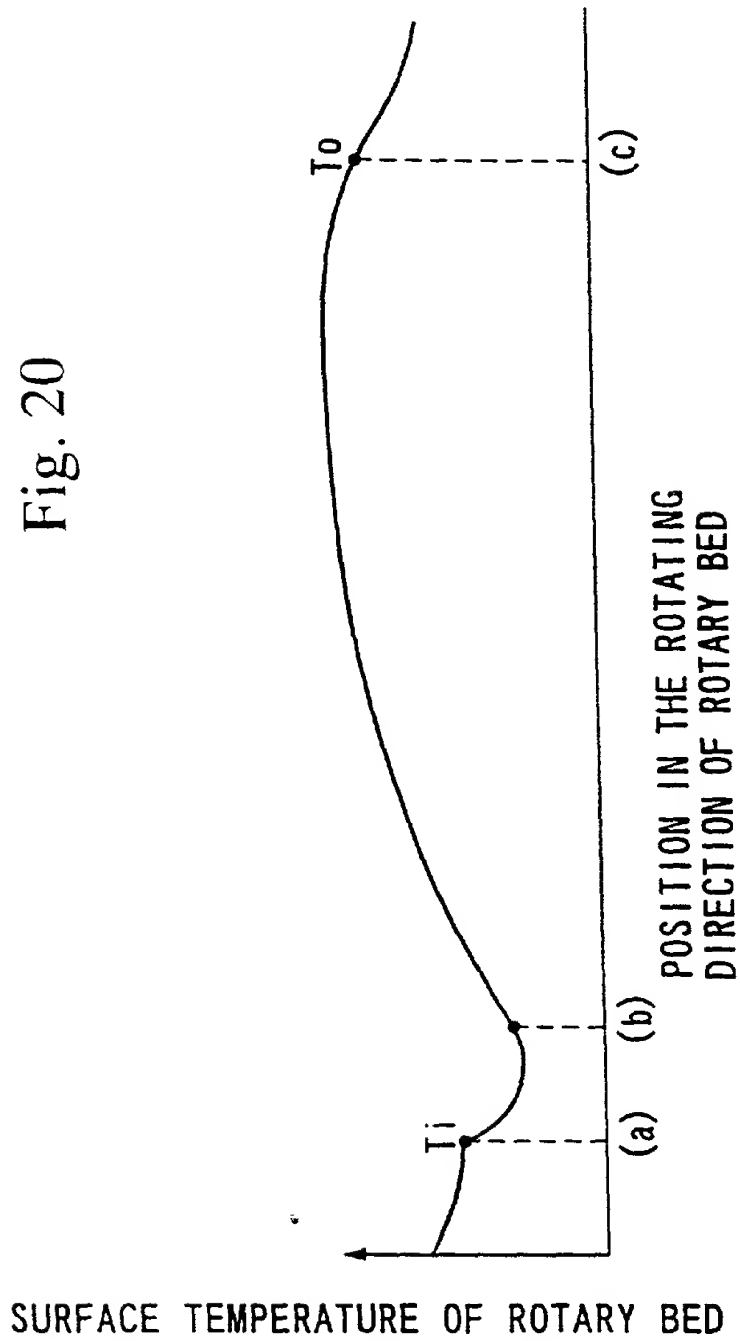


Fig. 20



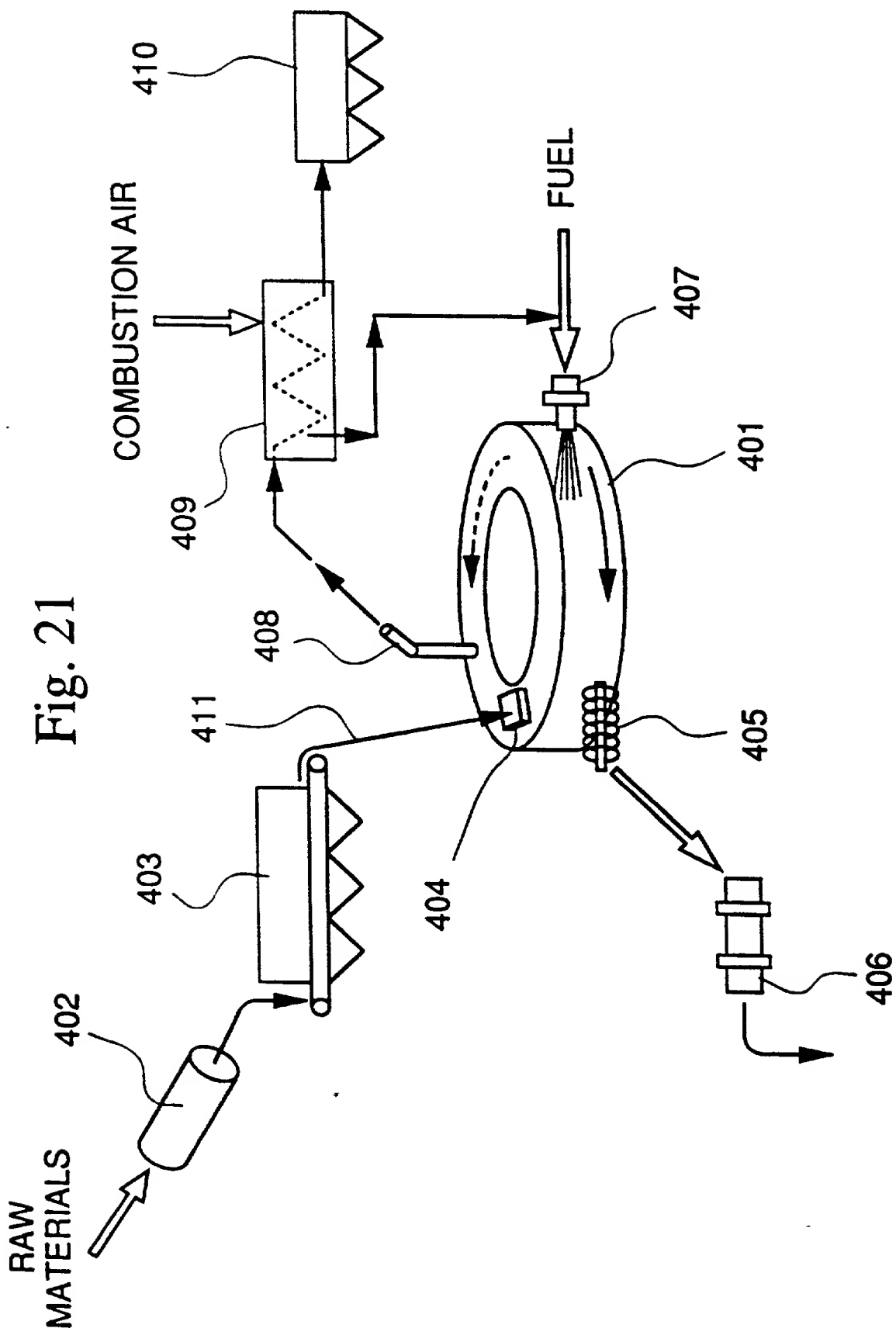
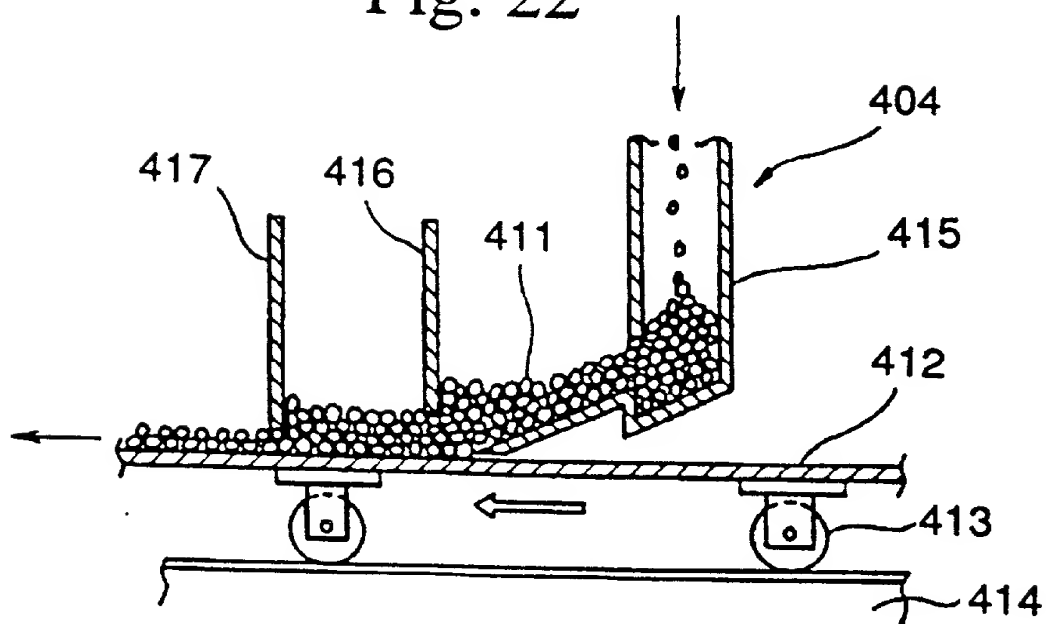


Fig. 22



DISCHARGED
GAS

Fig. 24

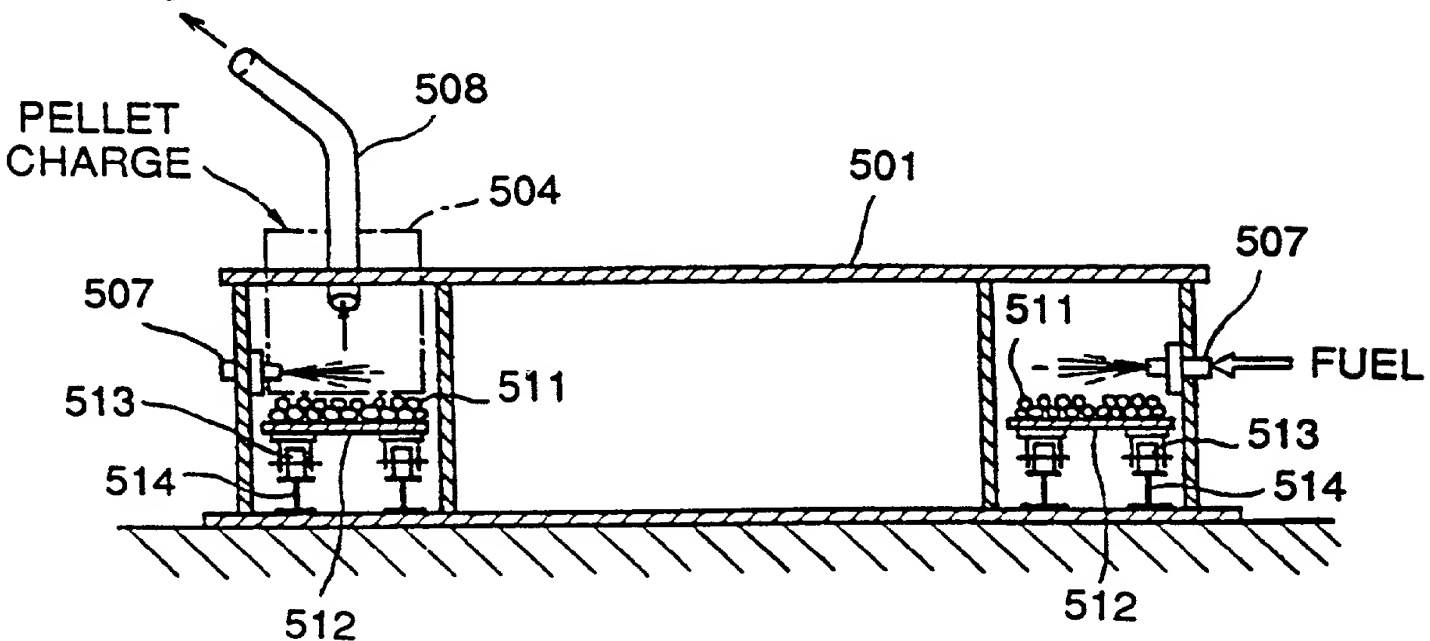


Fig. 23

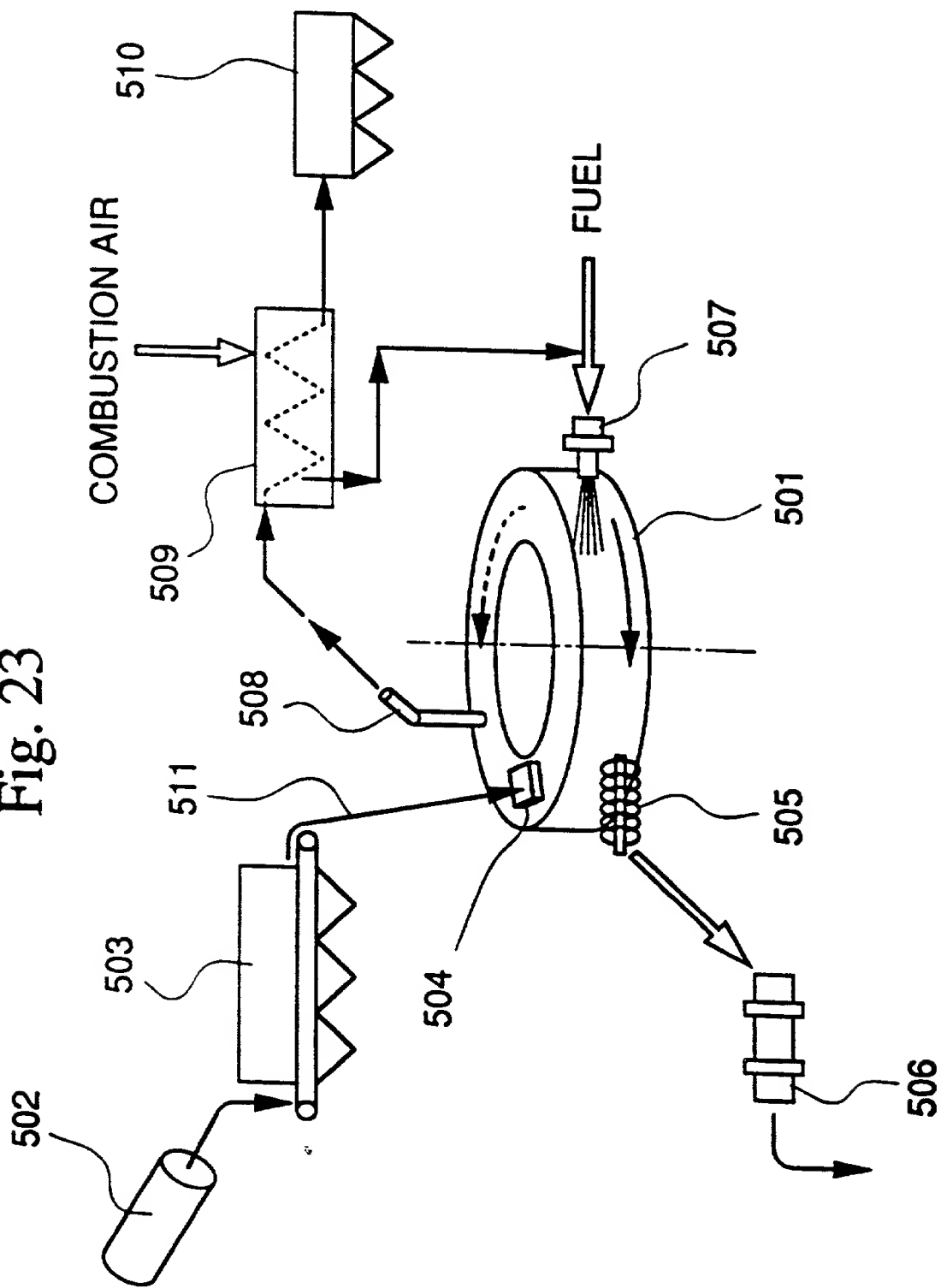


Fig. 25

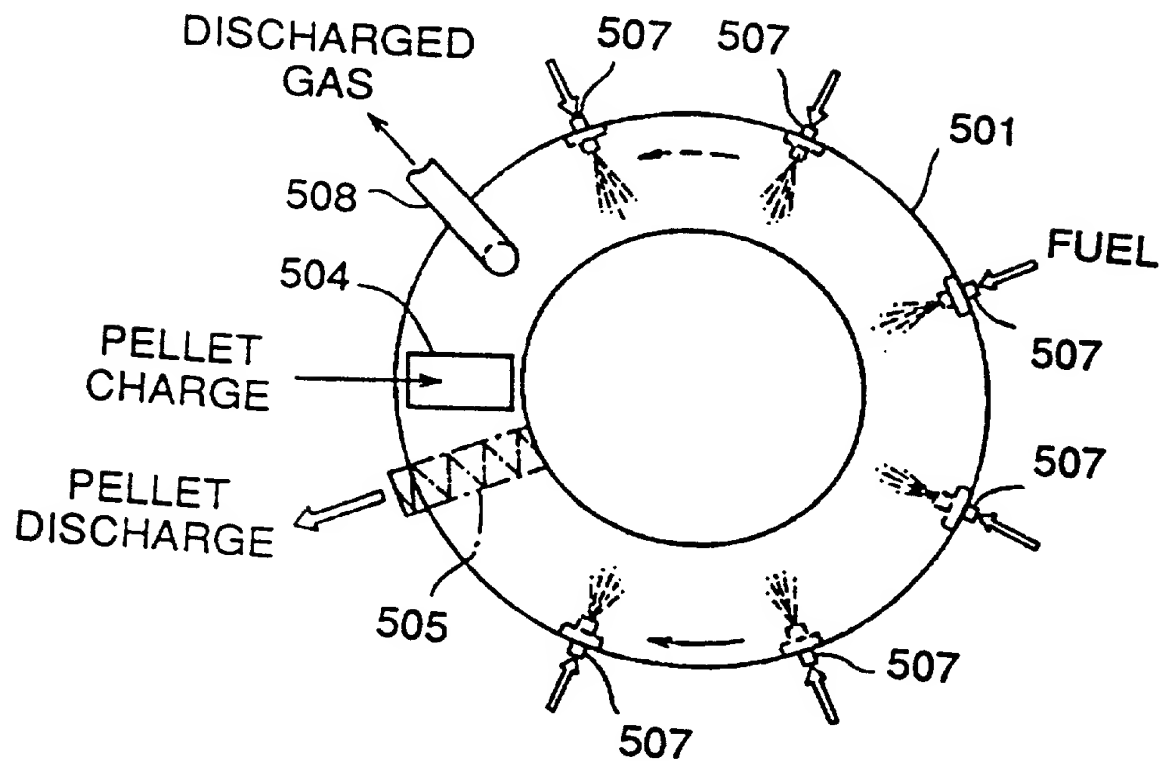


Fig. 26

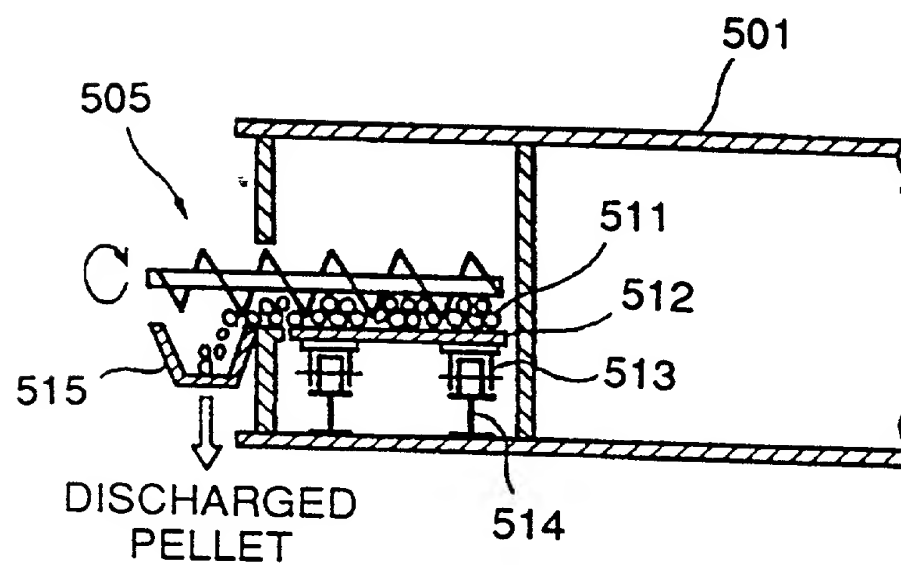


Fig. 27A

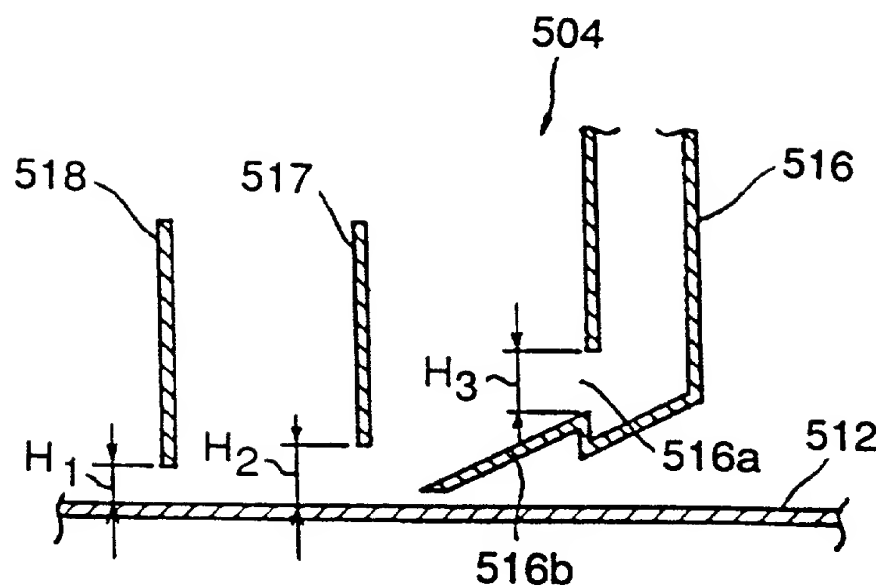


Fig. 27B

